

# ЧУВСТВИТЕЛЬНОСТЬ НЕЙТРОННОГО КРИСТАЛЛ-ДИФРАКЦИОННОГО ЭКСПЕРИМЕНТА К ЭЛЕКТРИЧЕСКОМУ ДИПОЛЬНОМУ МОМЕНТУ НЕЙТРОНА И P-, T-НЕЧЕТНЫМ ЯДЕРНЫМ СИЛАМ

**В. Г. Барышевский, С. Л. Черкас**

Наличие у нейтрона электрического дипольного момента (ЭДМ) требует одновременного нарушения инвариантности относительно инверсии как времени (T), так и пространственной координаты (P). В моделях, объясняющих барионную асимметрию Вселенной, ЭДМ нейтрона оказывается на уровне  $\sim 10^{-26} - 10^{-28} \text{ e} \cdot \text{см}$  [1], так что его обнаружение было бы прямым свидетельством в пользу объединяющих различные взаимодействия моделей, таких как суперсимметричные и модели Великого объединения.

Более того, в последнее время нарастает интерес и к исследованию T-нечетных констант взаимодействия нейтрона с ядром. Однако в данных исследованиях существуют серьезные проблемы, связанные с методикой таких экспериментов, поэтому разработка методов, чувствительных к T-нечетным взаимодействиям нейтрона с ядром, является важной и насущной задачей современной физики.

Поскольку в кристалл-дифракционном эксперименте [2–9] нейтроны взаимодействуют с атомами кристалла, то возможно несколько механизмов, приводящих к P-, T-нечетному вращению спина нейтрона в кристалле, а именно взаимодействие электрического дипольного момента нейтрона с электрическим полем кристалла и нарушающее пространственную четность и инвариантность относительно обращения времени ядерное взаимодействие нейтрона с ядрами. Ниже будут подробно рассмотрены эти два механизма нарушения P-, T-инвариантности в области тепловых и резонансных энергий нейтронов.

Согласно работам [6, 7], угол поворота  $\phi_{PT}$  поляризации нейтрона в кристалле толщины  $L$  определяется спин-зависящей частью показателя преломления:

$$\phi_{PT} = 2kL |\mathbf{M}_{PT}|, \quad (1)$$

где  $k$  – волновое число нейтрона,  $\mathbf{M}_{PT}$  – абсолютное значение вектора, входящего в формулу для P-, T-нечетной матричной части показателя преломления нейтрона в кристалле:  $n_{PT} = \boldsymbol{\sigma} \cdot \mathbf{M}_{PT}$ .

При условии слабой дифракции на некоторой системе плоскостей кристалла (рис. 1), соответствующих вектору обратной решетки  $\boldsymbol{\tau}$ , показатель преломления может быть записан в виде

$$n_{PT} \sim \left( \frac{4\pi}{k^2 V} \right)^2 \frac{f_s f_{PT}(\boldsymbol{\tau})}{2\alpha_B} e^{-2w(\boldsymbol{\tau})} S(\boldsymbol{\tau}), \quad (2)$$

где  $f_s$  – амплитуда упругого рассеяния нейтрона на ядре (длина рассеяния),  $f_{PT}(\mathbf{q})$  – P-, T-нечетная амплитуда упругого рассеяния;

$$\alpha_B = \frac{\tau(\tau + 2\mathbf{k})}{k^2}, \quad (3)$$

где  $V$  – объем единичной ячейки,  $e^{-w(\tau)} = \exp(-u^2\tau^2/4)$  – фактор Дебая – Уоллера и  $u^2$  – средний квадрат амплитуды теплового движения атомов относительно положения равновесия.

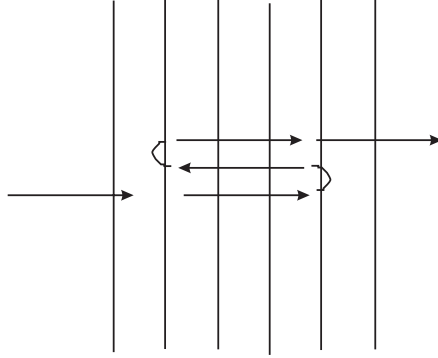


Рис. 1. Перерасеяние нейтрона кристаллическими плоскостями

Множитель  $s(\boldsymbol{\tau}) = \sum_{jl} \{ \exp(i\boldsymbol{\tau}\mathbf{R}_j) - \exp(-i\boldsymbol{\tau}\mathbf{R}_j) \}$ , где суммирование проводится по атомам одной единичной ячейки кристалла, описывает степень нецентросимметричности кристалла [10], т. е.  $s(\boldsymbol{\tau})$  равно нулю для кристаллов, обладающих центром симметрии, и таким образом только нецентросимметричные (пьезоэлектрические) кристаллы пригодны для эксперимента.

В геометрии обратного рассеяния только P-, T-нечетные взаимодействия приводят к вращению спина, наблюдение которого и будет свидетельствовать о нарушении указанных симметрий.

Сравним вклад различных источников P-, T-нарушения, а именно P-, T-нечетных ядерных сил и взаимодействия ЭДМ нейтрона с электрическим полем кристалла в поворот спина нейтрона, который планируется наблюдать. Рассмотрим сначала P-, T-нечетную амплитуду рассеяния нейтрона ядром (атомом) кристалла. Данная амплитуда содержит электромагнитную и ядерную части. Последняя может быть выведена в приближении однопионного обмена из лагранжиана взаимодействия нуклонного и мезонного полей. Для простоты будем рассматривать обмен только  $\pi$ -мезоном, изображенный на рис. 2, а. В этом случае плотность лагранжиана взаимодействия может быть записана в виде [11]

$$L = ig_\pi \bar{N} \gamma_5 (\boldsymbol{\tau} \boldsymbol{\pi}) N + \bar{g}_\pi^{(0)} \bar{N} (\boldsymbol{\tau} \boldsymbol{\pi}) N + \bar{g}_\pi^{(1)} \bar{N} \pi_0 N + \bar{g}_\pi^{(2)} \bar{N} (3\tau^z \pi_0 - \boldsymbol{\tau} \boldsymbol{\pi}) N, \quad (4)$$

где  $N(x)$  – амплитуда нуклонного поля и  $\pi_0(x)$ ,  $\boldsymbol{\pi}(x)$  амплитуды полей нейтральных и заряженных  $\pi$ -мезонов.

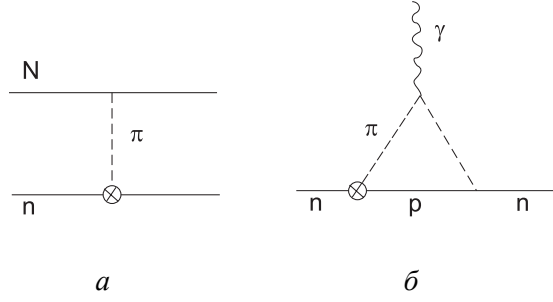


Рис. 2. Диаграмма однопионного обмена (а), вклад пионной петли в ЭДМ нейтрона (б); P-, T-нарушающая вершина отмечена крестиком

Три последних слагаемых в (4) нарушают пространственную четность и инвариантность относительно обращения времени. В рамках однопионного обмена [11] можно вывести соответствующий потенциал нуклон-нуклонного взаимодействия:

$$\begin{aligned}
 V_{PT}^{(\pi)} = & \frac{1}{2m_N m_\pi^2} (g_\pi \bar{g}_\pi^{(0)} (\boldsymbol{\tau}\boldsymbol{\tau}_1) (\boldsymbol{\sigma} - \boldsymbol{\sigma}_1) + \\
 & + g_\pi \bar{g}_\pi^{(1)} ((\tau_1^z + \tau^z) (\boldsymbol{\sigma} - \boldsymbol{\sigma}_1) + (\tau_1^z - \tau^z) (\boldsymbol{\sigma} + \boldsymbol{\sigma}_1)) + \\
 & + g_\pi \bar{g}_\pi^{(2)} (3\tau^z \tau_1^z - \boldsymbol{\tau}\boldsymbol{\tau}_1) (\boldsymbol{\sigma} - \boldsymbol{\sigma}_1)) \cdot \nabla \delta^{(3)}(\mathbf{r}), \quad (5)
 \end{aligned}$$

где вследствие малой энергии нейтронов для простоты принимается, что взаимодействие имеет нулевой радиус действия. Полученное P-, T-нечетное нуклон-нуклонное взаимодействие позволяет найти P-, T-нечетный потенциал взаимодействия нейтрона с ядром. Предположим для простоты, что ядро состоит из одинакового количества протонов и нейтронов с пространственным распределением  $\rho(\mathbf{r})$ , нормированным на единицу:  $\int \rho(\mathbf{r}) d^3 \mathbf{r} = 1$ . Усреднение нуклон-нуклонного взаимодействия приводит к нейтрон-ядерному потенциалу следующего вида:

$$V_{\text{NPT}} = -\frac{A}{m_N m_\pi^2} g_\pi \bar{g}_\pi^{(1)} \boldsymbol{\sigma} \nabla \rho(\mathbf{r}), \quad (6)$$

где  $A$  – число нуклонов в ядре, а также использовано соотношение

$$\int \rho(\mathbf{r}') \nabla \delta^{(3)}(\mathbf{r} - \mathbf{r}') d^3 \mathbf{r}' = \nabla \rho(\mathbf{r}).$$

Слагаемые из (5), которые пропорциональны  $\bar{g}_\pi^{(0)}$  и  $\bar{g}_\pi^{(2)}$ , не дают вклада в потенциал нуклон-ядерного взаимодействия, поскольку их изоспиновая зависимость приводит к противоположному знаку для  $n-n$  и  $n-p$  взаимодействий, в то время как мы предполагали равное число нейтронов и протонов в ядре.

Следующий шаг состоит в расчете амплитуды упругого рассеяния нейтрона на ядре в первом порядке по переданному импульсу  $\mathbf{q}$ :

$$f_{\text{NPT}}(\mathbf{q}) = -\frac{m_N}{2\pi} \int V_{\text{NPT}}(\mathbf{r}) e^{-i\mathbf{q}\mathbf{r}} d^3r = iA \frac{g_\pi \bar{g}_\pi^{(1)} \boldsymbol{\sigma}\mathbf{q}}{2\pi m_\pi^2}, \quad (7)$$

где мы положили  $\rho(\mathbf{r}) = A\delta^{(3)}(\mathbf{r})$  для упрощения расчета.

Как уже говорилось, другим источником нарушения P-, T-инвариантности является взаимодействие электрического дипольного момента нейтрона с электрическим полем:

$$V_{\text{EDM}} = -d_n \boldsymbol{\sigma}\mathbf{E} = d_n \boldsymbol{\sigma}\nabla \left( \frac{Ze}{r} \exp(-r/R_a) \right) = -d_n Z e \frac{(\boldsymbol{\sigma}\mathbf{r})}{r} \left( \frac{1}{r^2} + \frac{1}{rR_a} \right) \exp(-r/R_a), \quad (8)$$

Вычисление амплитуды рассеяния для этого случая приводит к следующему выражению:

$$\begin{aligned} f_{\text{EDM}}(\mathbf{q}) &= \frac{m_n}{2\pi} d_n Z e \int \frac{(\boldsymbol{\sigma}\mathbf{r})}{r} \left( \frac{1}{r^2} + \frac{1}{rR_a} \right) \exp(-r/R_a) e^{-i\mathbf{q}\mathbf{r}} d^3\mathbf{r} = \\ &= -2i m_n d_n Z e \frac{(\boldsymbol{\sigma}\mathbf{q})}{q^2} \left( 1 - \frac{1}{1+q^2 R_a^2} \right), \end{aligned} \quad (9)$$

где радиус экранирования считается равным радиусу атома  $R_a$ .

Следует заметить, что электрический дипольный момент нейтрона также может быть выражен через константы пион-нуклонного взаимодействия [12]:

$$d_n = \frac{e}{4\pi^2 m_n} g_\pi \bar{g}_\pi^{(0)} \ln \frac{m_n}{m_\pi}, \quad (10)$$

что дает возможность сравнивать величину амплитуд упругого рассеяния даваемых выражениями (7) и (9). Окончательный вывод состоит в том, что вклад от взаимодействия ЭДМ нейтрона с электрическим полем атома в угол вращения поляризации нейтрона в кристалле намного больше вклада, возникающего из-за P-, T-нечетных короткодействующих ядерных взаимодействий (ср. вторую и пятую колонки таблицы), если сделать достаточно естественное предположение  $\bar{g}_\pi^{(0)} \approx \bar{g}_\pi^{(1)}$ .

Однако можно задать вопрос, что произойдет, если наблюдение вращения спина проводить в окрестности  $p$ -резонансов составного ядра. Как известно, P-нечетные и P-, T-нечетные эффекты ядерного происхождения претерпевают существенное усиление в этом случае.

В окрестности  $p$ -резонанса в предположении, что вблизи расположен  $s$ -резонанс, амплитуда рассеяния имеет вид [13, 14]

$$f_{PT}^{\text{res}}(\mathbf{q}) = \frac{(\boldsymbol{\sigma}\mathbf{q})}{k^2} \frac{\gamma_p W_{ps} \gamma_s}{(E - E_p + i\Gamma_p)(E_s - E_p)}, \quad (11)$$

где  $\gamma_p$  – амплитуда захвата в  $p$ -резонанс,  $\gamma_s$  – амплитуда захвата в  $s$ -резонанс,  $W_{sp}$  – матричный элемент P-, T-нечетного взаимодействия между  $s$ - и  $p$ -состояниями компаунд-ядра. Амплитуда захвата в  $p$ -резонанс подавлена по

сравнению с амплитудой захвата в  $s$ -резонансе:  $\gamma_p = (kR)\gamma_s$ , где  $R$  – радиус ядра. В соответствии с теорией реакций, идущих через составное ядро,  $\Psi_p = \sum_m^N C_{pm}\psi_m$ , где  $\psi_m$  – базисные волновые функции оболочечной модели и  $N \sim 10^6$  число «главных» компонент в волновой функции составного ядра [13, 14]. Коэффициенты  $C_{pm}$ , так же как  $C_{sm}$ , являются случайными величинами, что приводит к следующей формуле для матричного элемента между компаунд состояниями:  $W_{sp} = W/\sqrt{N}$ , где  $W$  – характерная величина одночастичного Р-, Т-нечетного взаимодействия, которая, согласно (6), может быть оценена как  $W = \frac{g_\pi \bar{g}_\pi^{(1)} A}{m_n m_\pi^2 R^4}$ . Следует отметить, что не только одночастичное взаимодействие (6) дает вклад в матричный элемент, но также и исходное двухчастичное взаимодействие (5). Таким образом, по-видимому, вклад в матричный элемент  $W$  от слагаемых, пропорциональных  $\bar{g}_\pi^{(0)}$  и  $\bar{g}_\pi^{(2)}$ , такого же порядка, как от  $\bar{g}_\pi^{(1)}$ . Принимая во внимание оценку для интервала энергий между  $s$ - и  $p$ -резонансами  $E_s - E_p = \Delta E/N$ , где  $\Delta E = 7$  МэВ – типичная разность энергий между состояниями оболочечной модели, мы приходим к следующему виду амплитуды упругого рассеяния:

$$f_{PT}^{res}(q) = \frac{(\boldsymbol{\sigma} \cdot \mathbf{q})}{k^2} \frac{1}{kR} \frac{\sqrt{N} W}{\Delta E} \frac{\gamma_p^2}{\Gamma_p} \quad (12)$$

в окрестности  $p$ -резонанса, когда  $E - E_p = \Gamma_p$ .

Существует еще один метод оценки Р-, Т-нечетной резонансной амплитуды – использование результатов измерений Р-нечетного вращения спина в  $^{139}\text{La}$  [15–18]. Из результатов этих экспериментов можно оценить отношение матричного элемента Т-инвариантного Р-нечетного взаимодействия между  $s$ - и  $p$ -резонансами к разности энергий резонансов [15–18]:

$$\frac{\tilde{W}_{sp}}{E_s - E_p} = \frac{1.7 \times 10^{-3}}{38} = 4.5 \times 10^{-5}. \quad (13)$$

Можно предположить, что данный матричный элемент происходит от Р-нечетного взаимодействия, которое описывается мезон-нуклонным лагранжианом, состоящим из сильного и Р-нечетного слагаемых [19]:

$$L = ig_\pi \bar{N} \gamma_5 (\boldsymbol{\tau} \cdot \boldsymbol{\pi}) N + h_\pi \bar{N} (\boldsymbol{\tau} \times \boldsymbol{\pi})_3 N, \quad (14)$$

из которого можно получить Р-нечетное нуклон-нуклонное взаимодействие следующего вида:

$$V(r) = i \frac{g_\pi h_\pi}{2\sqrt{2} m_n m_\pi^2} (\boldsymbol{\tau}_1 \times \boldsymbol{\tau}_2)_3 (\boldsymbol{\sigma}_1 + \boldsymbol{\sigma}_2) [(\hat{\mathbf{p}}_1 - \hat{\mathbf{p}}_2), \delta^{(3)}(\mathbf{r})]. \quad (15)$$

Далее можно предположить, что коэффициент пропорциональности, который

определяется сложной структурой компаунд состояний, между произведением констант  $g_\pi h_\pi$  (P-нечетное T-четное взаимодействие) и матричным элементом  $\tilde{W}_{sp}$  такой же, как для констант  $g_\pi \bar{g}_\pi^{(i)}$  (P-нечетное T-нечетное взаимодействие) и матричного элемента  $W_{sp}$ . В результате находим  $W_{sp}$ :

$$W_{sp} = \frac{g_\pi \bar{g}_\pi^{(i)}}{g_\pi h_\pi} \tilde{W}_{sp}, \quad (16)$$

где  $g_\pi = 13$  и оценка для P-нечетной константы  $h_\pi$  приведена в [19, 20]:  $h_\pi = 1.9 \times 10^{-7}$ . Значения других необходимых параметров: полная ширина  $p$ -резонанса  $\Gamma_p = 0.045$  эВ, нейтронная ширина резонанса  $\Gamma_p^n = 3.6 \times 10^{-8}$  эВ, нейтронная ширина  $s$ -резонанса  $\Gamma_s^n = 0.1$  эВ, интервал энергии до ближайшего  $s$ -резонанса  $E_s - E_p \sim 38$  эВ [19, 20].

Перейдем к оценке угла поворота спина нейтрона. Будем рассматривать наиболее выгодную геометрию отражения назад (угол Брэгга равен  $180^\circ$ ). Для  $\alpha_B$  (3), описывающего расстройку от выполнения точного условия Брэгга, имеем

$$\alpha_B = 4(\Delta k/k + \Delta\theta^2), \quad (17)$$

поскольку  $\tau = 2k$ . Параметр  $\Delta\theta \sim 10^{-3}$  определяется мозаичностью кристалла и при этом должно быть  $\Delta k/k = \Delta\theta^2 = 10^{-6}$ . Оставшиеся параметры следующие:  $L = 0.5$  м,  $u = 0.1 \text{ \AA}$ ,  $V^{1/3} = 5 \text{ \AA}$ ,  $R_a = 2 \text{ \AA}$ ,  $R = 1.45A^{1/3}$  фм, где  $A = 139$  массовое число ядра,  $Z = 57$  заряд. Фактор  $s(\tau)$ , описывающий нецентросимметричность кристалла, взят равным единице, поскольку в большинстве пьезоэлектрических кристаллов центральная симметрия нарушена сильно. Величина электрического дипольного момента нейтрона взята  $10^{-26}$  е·см, соответствующее этому значению произведение констант  $g_\pi \bar{g}_\pi^{(i)}$  находится из уравнения (10) в предположении, что P-, T-нарушающие константы  $\bar{g}_\pi^{(1)}$ ,  $\bar{g}_\pi^{(2)}$ ,  $\bar{g}_\pi^{(3)}$  одного порядка величины. Следует заметить, что, кроме того,  $\Delta\theta$  должно быть больше мозаичности кристалла (типичная величина  $10^{-3}$ – $10^{-4}$ ), оно также должно удовлетворять условию слабости дифракции:  $\alpha_B = 4(\Delta\theta^2 + \Delta k/k) \gg \frac{4\pi}{k^2 V} f_s$ .

Подводя итог, можно сделать вывод, что ЭДМ нейтрона вносит главный вклад во вращение спина нейтрона в условиях дифракции в нецентросимметричном кристалле при энергиях тепловых нейтронов около 0.003 эВ (см. таблицу). Необходимое число нейтронов для измерения угла поворота спина составляет  $N_{tot} = 1/\phi_{EDM}^2 = 7 \times 10^7$  и, например, при потоке нейтронов на дне канала реактора  $N_0 = 10^{15}$  нейтрон/(см<sup>2</sup>·с) и площади кристалла  $S = 30 \times 30$  см<sup>2</sup> время накопления данных составит всего  $T = N_{tot}/(N_0 S \frac{\Delta\theta}{\pi} 2 \frac{\Delta k}{k}) \approx 0.12$  с.

Угол вращения спина нейтрона:  $\phi_{EDM}$  – из-за вклада ЭДМ нейтрона,  $\phi_{NPT}, \phi_{res}$  – из-за P-, T-нечетных ядерных сил при потенциальном и резонансном рассеянии соответственно

$E, eV$	$\Delta\theta$	$\Delta k/k$	$\frac{4\pi}{k^2V} f_s$	$\phi_{EDM}$	$\phi_{res}$	$\phi_{NPT}$
0.003	$10^{-3}$	$10^{-6}$	$5.6 \times 10^{-6}$	$1.2 \times 10^{-4}$	–	$2.8 \times 10^{-11}$
0.1	$10^{-3}$	$10^{-6}$	$1.7 \times 10^{-7}$	$6.9 \times 10^{-8}$	–	$6.7 \times 10^{-13}$
0.73	$10^{-3}$	$10^{-6}$	$2.4 \times 10^{-8}$	$2.9 \times 10^{-10}$	* $8.3 \times 10^{-9}$	$2.0 \times 10^{-14}$
					** $5.6 \times 10^{-10}$	
0.73	$10^{-3}$	$10^{-8}$	$2.4 \times 10^{-8}$	$2.9 \times 10^{-8}$	* $8.3 \times 10^{-7}$	$2.0 \times 10^{-12}$
					** $5.6 \times 10^{-8}$	

Примечание. Величины, помеченные \*, соответствуют оценкам по формуле (12), в то время как величины, помеченные \*\*, соответствуют оценкам, следующим из уравнений (11), (13), (16).

В области энергий около 0.73 эВ, соответствующей  $p$ -резонансу лантана  $^{139}\text{La}$ , главный вклад вносят P-, T-нечетные ядерные силы (см. последнюю и предпоследнюю строки таблицы случай \*). Однако требуемое число нейтронов для этого случая составляет  $N_{tot} = 1.5 \times 10^{12}$  и при том же потоке нейтронов и площади кристалла требуемое время  $T = 30$  дней. Таким образом, эксперимент в резонансной области имеет смысл проводить только на специализированных реакторах, в которых поток нейтронов с энергией 1 эВ намного больше, чем с энергией 0.001–0.003 эВ.

### Литература

1. Baker C. A. et al. // Phys. Rev. Lett. 2006. Vol. 97. P. 131801.
2. Shull C. G., Nathans R. // Phys. Rev. Lett. 1967. Vol. 19. P. 384.
3. Forte M. // J. Phys. G. 1983. Vol. 9. P. 745.
4. Forte M., Zagen C. // Nucl. Inst. Meth. A. 1989. Vol. 284. P.147.
5. Fedorov V. V., Voronin V. V., Lapin E. G. // J. Phys. G. 1992. Vol. 18. P. 1133.
6. Барышевский В. Г. // Ядерная физика. 1995. Т. 58. С. 1558.
7. Varyshevsky V. G. // J. Phys. G: Nucl. Part. Phys. 1997. Vol. 23. P. 509.
8. Лапин Е. Г. и др. // Письма ЖЭТФ. 2001. Т. 74. С. 279.
9. Fedorov V.V. et al. // Appl. Phys. 2002. Vol. A74. P. s91.
10. Для простоты мы привели выражение для фактора  $s(\tau)$  справедливое только для кристалла, состоящего из одного вида атомов. В общем случае необходимо рассматривать сумму общего вида  $\sum_{j,l} f_j(\boldsymbol{\tau}) f_l(-\boldsymbol{\tau}) \exp(i\boldsymbol{\tau}(\mathbf{R}_j - \mathbf{R}_l))$  [6, 7], где  $\mathbf{R}_j$  – положение атома в ячейке кристалла и  $f_j$  – соответствующая амплитуда рассеяния.

11. *Liu C.-P., Timmermans R. G. E.* // Phys. Rev. C. 2004. Vol. 70. P. 055501.
12. *Pospelov M, Ritz A.* // Ann. Phys. (N.Y.). 2005. Vol. 318. P. 119.
13. *Vinakov V. E., Gudkov V. P.* // J. de Phys. (Paris). 1984. Vol. 45. P. C3.
14. *Сушков О. П., Фламбаум В. В.* // Письма ЖЭТФ. 1980. Т. 32. С. 377.
15. *Алфименков В. П. и др.* // Письма ЖЭТФ. 1982. Т. 35. С. 42.
16. *Весна В. А. и др.* // Изв. Акад. Наук. СССР, сер. физ. 1982. Т. 46. С. 2116.
17. *Haseyama T. et al.* // Phys. Lett. B. 2002. Vol. 534. P. 39.
18. *Серебров А. П. и др.* // Письма ЖЭТФ 1995. Т. 62. С. 529.
19. *Zhu S.-L. et al.* // Nucl. Phys. A. 2005. Vol. 748. P. 435.
20. *Shwe H., Cote R. E., Prestwich W. V.* // Phys. Rev. 1967. Vol. 159. P. 1050.

**SENSITIVITY OF THE NEUTRON CRYSTAL DIFFRACTION  
EXPERIMENT TO THE NEUTRON EDM AND TO THE NUCLEAR  
P-, T-VIOLATING FORCES**

**V. G. Baryshevsky, S. L. Cherkas**

We establish a link between an angle of the neutron polarization rotation in a crystal diffraction experiment and constants of the P-, T-violating interactions. The consideration applies to the energy range of thermal and resonance neutrons.